TROY TECHNICAL

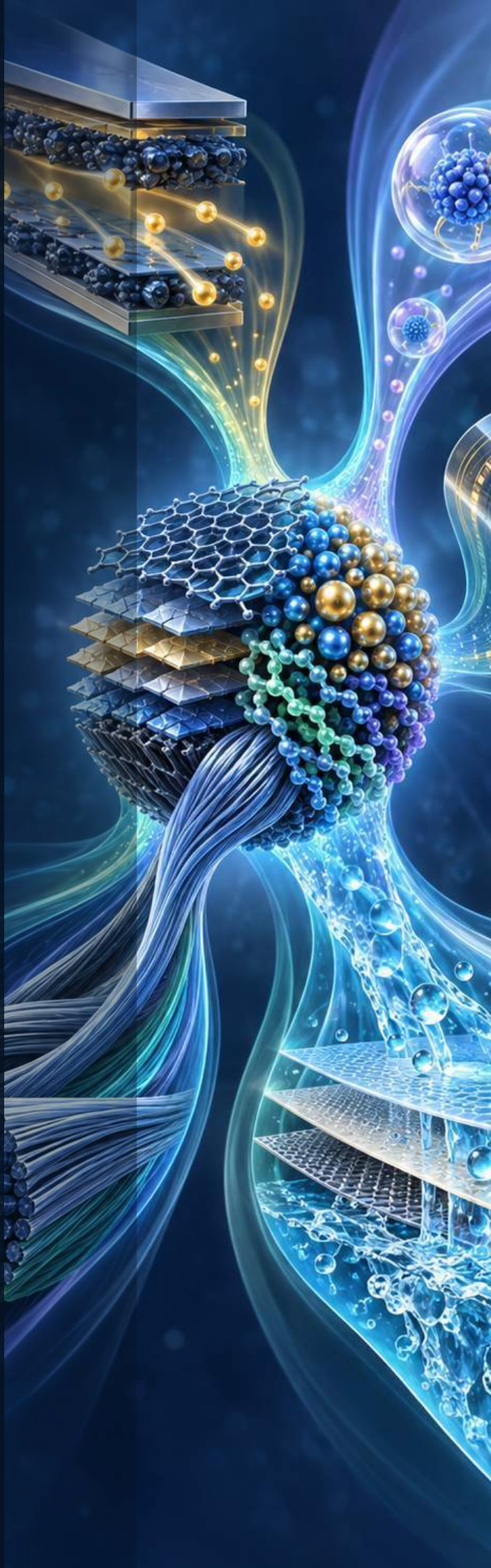
ナノテクノロジー
ウィークリーレポート

2026年10月24日-10月30日 | Issue 2026-W43

ナノ特性を再現可能で安全な製品価値へ変換する道筋

14	10
分析対象	重点テーマ

発行 2026-10-30 | 日本語版 | 承認済み固定表紙



ナノテクノロジー:個別発表から認定証拠へ境界が移動

日本語記事14件を棚卸しし、意思決定に重要なテーマを選定した。

シグナル 01 | ナノ設計

LiMn0.7Fe0.3PO4/C/CNTs|CNT被覆リチウム正極の100C超急速充電性能

カーボンナノチューブ(CNT)で被覆したリチウムマンガン鉄リン酸塩(LMFP)正極材料が、100Cという超高レートでの充電・放電においても高い容量を維持することが示されました。100Cのレートで1000サイクル後も67.5%(102.1 mAh g-1)の容量保持率を達成しています。CNTによる導電パスの形成が、急速充放電時の構造安定性と電子輸送効率を大幅に向上させています。

シグナル 02 | 合成

CsEuI3ナノ結晶|単一成分で白色発光を実現するペロブスカイトLEDの性能と課題

単一の発光材料から効率的な白色電界発光(EL)を実現する、リガンド設計を施したCsEuI3ナノ結晶が開発されました。この材料を用いたLEDは、最大外部量子効率8.3%、最大輝度8,941 cd m-2を達成し、256 × 256のアクティブマトリクスディスプレイへの統合にも成功しています。従来のRGB各色を個別にパターン化する困難さを回避し、カラーフィルターと組み合わせることで簡素かつ効率的なフルカラーディスプレイを実現する新たなアプローチとなります。

シグナル 03 | 材料統合

グラフェンの電子遷移|Landau-Zener-Majorana遷移の可視化と高速半導体への応用

レーゲンスブルク大学、マールブルク大学、ユーリッヒ研究センターの研究チームが、グラフェン内を移動する電子がエネルギー準位を飛び越える現象を世界で初めて可視化した。強電場下で電子がエネルギー準位1、2、3から直接20へと「ジャンプ」するLandau-Zener-Majorana遷移を、レーザー技術と電子顕微鏡の組み合わせにより捉えた。この成果は、電圧だけでなく光の高速振動による電子制御を可能にし、次世代の超高速半導体デバイス開発に寄与すると期待される。

シグナル 04 | 用途実証

カーボンナノチューブ量子センサ|室温でのスピン読み出し成功と常温動作の課題

アントワープの研究チームが、単層カーボンナノチューブ(SWCNT)を用いた量子センサにおいて、室温でのスピン状態の光学的読み出しに成功しました。塩素、臭素、ヨウ素で機能化された(6,5)カイラリティのチューブ内に「パラハロフェニル量子欠陥」を導入し、トリプレット励起子をトラップすることで実現しています。これにより、従来は2.5 Kという極低温環境が必要だった量子センシングが常温・大気条件下で可能となり、常磁性分子の検出に向けた実証が行われました。

編集判断

今週の経営判断は ナノ特性を再現可能で安全な製品価値へ変換する道筋 に集中する。自社条件で関連証拠を再現できる場合だけ次へ進む。

経営の3アクション

1. 事業会社: システム差が測れ、認定経路が見える用途へ評価を集中する.
2. 供給企業: 分散、界面、ロット再現性、EHS、量産採算を同時に示す.
3. 経営層: スケールアップ、計測、毒性、歩留まり、界面安定性.

証拠の読み方

FACTは収集記事に書かれた内容、事業への読みとACTIONは編集判断、UNKNOWNは記事だけでは確定しない項目を示す。リンク先があることだけで、全主張が独立検証済みとは扱わない。

条件と一緒に読む主要数値・証拠5件

1000サイクル
A01

数値の条件
カーボンナノチューブ(CNT)で被覆したリチウムマンガン鉄リン酸塩(LMFP)正極材料が、100Cという超高レートでの充電・放電においても高い容量を維持することが示されました。100Cのレートで1000サイクル後も67.5%(102.1 mAh g-1)の容量保持率を達成しています。CNTによる導電パスの形成が、急速充放電時の構造安定性と電子輸送効率を大幅に向上させています。

8.3%
A07

数値の条件
単一の発光材料から効率的な白色電界発光(EL)を実現する、リガンド設計を施したCsEuI3ナノ結晶が開発されました。この材料を用いたLEDは、最大外部量子効率8.3%、最大輝度8,941 cd m-2を達成し、256 × 256のアクティブマトリクスディスプレイへの統合にも成功しています。

1550nm
A03

数値の条件
華中科技大学の研究チームが、1550nm帯のLiDAR向けに、背景光干渉の抑制と応答速度の向上を同時に実現したタンデムPbSeコロイド量子ドット光検出器を開発しました。このデバイスは応答時間1.01nsを達成し、可視光領域の外部量子効率を単接合デバイス比で約13分の1に低減しつつ、1550nmの信号強度を97.9%維持することに成功しています。

4倍
A10

数値の条件
不均一メタレンズアレイを用いることで、ライトフィールド近眼ディスプレイの視野角を従来の13度から約4倍の50度まで拡大させることに成功しました。各サブレンズを視野角領域に合わせて個別に最適化した設計により、回折限界に近い画質を維持しつつ、視覚疲労の原因となる輻輳調節矛盾(VAC)のない3D表示を実現しています。この技術は、軽量な光学素子で没入感の高いXRデバイスを実現するためのハードウェアアプローチとして期待されます。

15層
A04

数値の条件
MXeneとパラジウムを用いた積層電極により、メタノール酸化反応(MOR)を通じて低コストで水素を製造する手法が開発された。15層の積層構造において、ピーク電流密度9.38 milliamperes per square centimeterを達成し、従来のグラフェン酸化物ベースのシステムを大幅に上回る性能を示した。この技術は、エネルギー効率を低下させる水電解の酸素発生反応を回避し、より効率的な水素製造を可能にする。

数値の読み方
数値は収集記事が示した条件と一緒に掲載する。試験法、寸法、温度、商用段階が異なる値を、条件補正なしで比較しない。

バリューチェーンはどこで動いたか

各段階に主テーマと補助テーマを接続する。矢印は装飾ではなく、次工程へ渡す証拠を示す。

1
ナノ設計
P01/P06

カーボンナノチューブ(CNT)で被覆したリチウムマンガン鉄リン酸塩(LMFP)正極材料が、100Cという超高レートでの充電・放電においても高い容量を維持することが示されました。100Cのレートで1000サイクル後も67.5%(102.

2
合成
P02/P07

単一の発光材料から効率的な白色電界発光(EL)を実現する、リガンド設計を施したCsEuI3ナノ結晶が開発されました。この材料を用いたLEDは、最大外部量子効率8.

3
材料統合
P03/P08

レーゲンスブルク大学、マールブルク大学、ユーリッヒ研究センターの研究チームが、グラフェン内を移動する電子がエネルギー準位を飛び越える現象を世界で初めて可視化した。

4
用途実証
P04/P09

アントワープの研究チームが、単層カーボンナノチューブ(SWCNT)を用いた量子センサにおいて、室温でのスピン状態の光学的読み出しに成功しました。

5
量産・安全
P05/P10

華中科技大学の研究チームが、1550nm帯のLiDAR向けに、背景光干渉の抑制と応答速度の向上を同時に実現したタンデムPbSeコロイド量子ドット光検出器を開発しました。このデバイスは応答時間1.

各受渡しで必要な証拠

ナノ設計 → 合成	試験条件、受入基準、故障データ、担当、判断日を渡し、再確認する: スケールアップ、計測、毒性、歩留まり、界面安定性.
合成 → 材料統合	試験条件、受入基準、故障データ、担当、判断日を渡し、再確認する: スケールアップ、計測、毒性、歩留まり、界面安定性.
材料統合 → 用途実証	試験条件、受入基準、故障データ、担当、判断日を渡し、再確認する: スケールアップ、計測、毒性、歩留まり、界面安定性.
用途実証 → 量産・安全	試験条件、受入基準、故障データ、担当、判断日を渡し、再確認する: スケールアップ、計測、毒性、歩留まり、界面安定性.

共通管理点

担当者が関連証拠を再現し、次を記録するまで商用判断へ進めない: スケールアップ、計測、毒性、歩留まり、界面安定性.

プライオリティマップ:実装成熟度と次の判断場所



P01	LiMn0.7Fe0.3PO4/C/CNTs|CNT被覆リチウム正極の100C超急速充電性能 技術・工程 | 根拠: 統合・事業語なし
P02	CsEuI3ナノ結晶|単一成分で白色発光を実現するペロブスカイトLEDの性能と課題 システム・導入 | 根拠: 統合
P03	グラフェンの電子遷移|Landau-Zener-Majorana遷移の可視化と高速半導体への応用 技術・工程 | 根拠: 統合・事業語なし
P04	カーボンナノチューブ量子センサ|室温でのスピン読み出し成功と常温動作の課題 システム・導入 | 根拠: 導入
P05	タンデム量子ドット光検出器|1550nm LiDARの高速化と耐グレア性能の向上 システム・導入 | 根拠: 統合
P06	不均一メタレンズアレイ|XR向けライトフィールドディスプレイの視野角を50度に拡大 技術・工程 | 根拠: 統合・事業語なし
P07	MXene-パラジウム電極|メタノール分解による低コスト水素製造の性能と構造 システム・導入 | 根拠: システム
P08	CaO2/CZ/GOXナノ粒子|がん細胞を飢餓状態にし2つの細胞死を誘発する性能 技術・工程 | 根拠: 統合・事業語なし
P09	H5N1 mRNA-LNPワクチン|乳牛の乳腺感染を防ぐ有効性と免疫応答の検証 技術・工程 | 根拠: 統合・事業語なし
P10	カーボンペンタヘプタイト・ナノリボン|平面状の共有結合金属の合成と導電性能 技術・工程 | 根拠: 統合・事業語なし

再現可能な配置ルール

横軸は研究・試作・共同評価・製品採用・量産の5段階。縦の帯は次の判断場所を技術・工程、システム・導入、事業・制度・供給に分ける。まず記事見出しの根拠語を使い、見出しで判断できない場合だけ概要を参照する。上下は影響の大小を意味しない。円径は編集スコアを示す。

FACTは収集記事に接続し、事業への読み、ACTION、UNKNOWNは編集判断として分離する。

P01 LiMn0.7Fe0.3PO4/C/CNTs|CNT被覆リチウム正極の100C超急速充電性能

A01 | ナノ設計 | 研究

日付未収録

FACT

カーボンナノチューブ(CNT)で被覆したリチウムマンガン鉄リン酸塩(LMFP)正極材料が、100Cという超高レートでの充電・放電においても高い容量を維持することが示されました。100Cのレートで1000サイクル後も67.5%(102.1 mAh g-1)の容量保持率を達成しています。CNTによる導電パスの形成が、急速充放電時の構造安定性と電子輸送効率を大幅に向上させています。

なぜ重要か

判断上の焦点は「ナノ特性を再現可能で安全な製品価値へ変換する道筋」である。見出しだけで採用せず、用途と運用条件で再現できるかを確認する。

事業への読み

事業会社は現在の認定・調達・製品ロードマップへの影響を比較する。材料・装置・技術企業は、分散、界面、ロット再現性、EHS、量産採算を同時に示す。

ACTION

30日以内に、システム差が測れ、認定経路が見える用途へ評価を集中する。結果と担当者をP01の評価票へ記録する。

UNKNOWN

記事だけでは確定しない項目: スケールアップ、計測、毒性、歩留まり、界面安定性。

編集スコア 19/25 | 成熟度 1/5 | 判断場所: 技術・工程

P02 CsEuI3ナノ結晶|単一成分で白色発光を実現するペロブスカイトLEDの性能と課題

A07 | 合成 | 試作

日付未収録

FACT

単一の発光材料から効率的な白色電界発光(EL)を実現する、リガンド設計を施したCsEuI3ナノ結晶が開発されました。この材料を用いたLEDは、最大外部量子効率8.3%、最大輝度8,941 cd m-2を達成し、256 × 256のアクティブマトリクスディスプレイへの統合にも成功しています。従来のRGB各色を個別にパターン化する困難さを回避し、カラーフィルターと組み合わせることで簡素かつ効率的なフルカラーディスプレイを実現する新たなアプローチとなります。

なぜ重要か

判断上の焦点は「ナノ特性を再現可能で安全な製品価値へ変換する道筋」である。見出しだけで採用せず、用途と運用条件で再現できるかを確認する。

事業への読み

事業会社は現在の認定・調達・製品ロードマップへの影響を比較する。材料・装置・技術企業は、分散、界面、ロット再現性、EHS、量産採算を同時に示す。

ACTION

30日以内に、システム差が測れ、認定経路が見える用途へ評価を集中する。結果と担当者をP02の評価票へ記録する。

UNKNOWN

記事だけでは確定しない項目: スケールアップ、計測、毒性、歩留まり、界面安定性。

編集スコア 18/25 | 成熟度 2/5 | 判断場所: システム・導入

FACTは収集記事に接続し、事業への読み、ACTION、UNKNOWNは編集判断として分離する。

P03 グラフェンの電子遷移|Landau-Zener-Majorana遷移の可視化と高速半導体への応用

A13 | 材料統合 | 試作

日付未収録

FACT

レーゲンスブルク大学、マールブルク大学、ユーリッヒ研究センターの研究チームが、グラフェン内を移動する電子がエネルギー準位を飛び越える現象を世界で初めて可視化した。強電場下で電子がエネルギー準位1、2、3から直接20へと「ジャンプ」するLandau-Zener-Majorana遷移を、レーザー技術と電子顕微鏡の組み合わせにより捉えた。この成果は、電圧だけでなく光の高速振動による電子制御を可能にし、次世代の超高速半導体デバイス開発に寄与すると期待される。

なぜ重要か

判断上の焦点は「ナノ特性を再現可能で安全な製品価値へ変換する道筋」である。見出しだけで採用せず、用途と運用条件で再現できるかを確認する。

事業への読み

事業会社は現在の認定・調達・製品ロードマップへの影響を比較する。材料・装置・技術企業は、分散、界面、ロット再現性、EHS、量産採算を同時に示す。

ACTION

30日以内に、システム差が測れ、認定経路が見える用途へ評価を集中する。結果と担当者をP03の評価票へ記録する。

UNKNOWN

記事だけでは確定しない項目: スケールアップ、計測、毒性、歩留まり、界面安定性。

編集スコア 18/25 | 成熟度 2/5 | 判断場所: 技術・工程

P04 カーボンナノチューブ量子センサ|室温でのスピン読み出し成功と常温動作の課題

A02 | 用途実証 | 製品採用

日付未収録

FACT

アントワープの研究チームが、単層カーボンナノチューブ(SWCNT)を用いた量子センサにおいて、室温でのスピン状態の光学的読み出しに成功しました。塩素、臭素、ヨウ素で機能化された(6,5)カイラリティのチューブ内に「パラハロフェニル量子欠陥」を導入し、トリプレット励起子をトラップすることで実現しています。これにより、従来は2.5 Kという極低温環境が必要だった量子センシングが常温・大気条件下で可能となり、常磁性分子の検出に向けた実証が行われました。

なぜ重要か

判断上の焦点は「ナノ特性を再現可能で安全な製品価値へ変換する道筋」である。見出しだけで採用せず、用途と運用条件で再現できるかを確認する。

事業への読み

事業会社は現在の認定・調達・製品ロードマップへの影響を比較する。材料・装置・技術企業は、分散、界面、ロット再現性、EHS、量産採算を同時に示す。

ACTION

30日以内に、システム差が測れ、認定経路が見える用途へ評価を集中する。結果と担当者をP04の評価票へ記録する。

UNKNOWN

記事だけでは確定しない項目: スケールアップ、計測、毒性、歩留まり、界面安定性。

編集スコア 18/25 | 成熟度 4/5 | 判断場所: システム・導入

FACTは収集記事に接続し、事業への読み、ACTION、UNKNOWNは編集判断として分離する。

P05 タンデム量子ドット光検出器|1550nm LiDARの高速化と耐グレア性能の向上

A03 | 量産・安全 | 試作

日付未収録

FACT

華中科技大学の研究チームが、1550nm帯のLiDAR向けに、背景光干渉の抑制と応答速度の向上を同時に実現したタンデムPbSeコロイド量子ドット光検出器を開発しました。このデバイスは応答時間1.01nsを達成し、可視光領域の外部量子効率を単接合デバイス比で約13分の1に低減しつつ、1550nmの信号強度を97.9%維持することに成功しています。高コストなInGaAs検出器に代わる低コストなシリコン回路統合型検出器としての実用化に近づく成果です。

なぜ重要か

判断上の焦点は「ナノ特性を再現可能で安全な製品価値へ変換する道筋」である。見出しだけで採用せず、用途と運用条件で再現できるかを確認する。

事業への読み

事業会社は現在の認定・調達・製品ロードマップへの影響を比較する。材料・装置・技術企業は、分散、界面、ロット再現性、EHS、量産採算を同時に示す。

ACTION

30日以内に、システム差が測れ、認定経路が見える用途へ評価を集中する。結果と担当者をP05の評価票へ記録する。

UNKNOWN

記事だけでは確定しない項目: スケールアップ、計測、毒性、歩留まり、界面安定性。

編集スコア 18/25 | 成熟度 2/5 | 判断場所: システム・導入

P06 不均一メタレンズアレイ|XR向けライトフィールドディスプレイの視野角を50度に拡大

A10 | ナノ設計 | 研究

日付未収録

FACT

不均一メタレンズアレイを用いることで、ライトフィールド近眼ディスプレイの視野角を従来の13度から約4倍の50度まで拡大させることに成功しました。各サブレンズを視野角領域に合わせて個別に最適化した設計により、回折限界に近い画質を維持しつつ、視覚疲労の原因となる輻輳調節矛盾(VAC)のない3D表示を実現しています。この技術は、軽量な光学素子で没入感の高いXRデバイスを実現するためのハードウェアアプローチとして期待されます。

なぜ重要か

判断上の焦点は「ナノ特性を再現可能で安全な製品価値へ変換する道筋」である。見出しだけで採用せず、用途と運用条件で再現できるかを確認する。

事業への読み

事業会社は現在の認定・調達・製品ロードマップへの影響を比較する。材料・装置・技術企業は、分散、界面、ロット再現性、EHS、量産採算を同時に示す。

ACTION

30日以内に、システム差が測れ、認定経路が見える用途へ評価を集中する。結果と担当者をP06の評価票へ記録する。

UNKNOWN

記事だけでは確定しない項目: スケールアップ、計測、毒性、歩留まり、界面安定性。

編集スコア 18/25 | 成熟度 1/5 | 判断場所: 技術・工程

FACTは収集記事に接続し、事業への読み、ACTION、UNKNOWNは編集判断として分離する。

P07 MXene-パラジウム電極|メタノール分解による低コスト水素製造の性能と構造

A04 | 合成 | 試作

日付未収録

FACT

MXeneとパラジウムを用いた積層電極により、メタノール酸化反応(MOR)を通じて低コストで水素を製造する手法が開発された。15層の積層構造において、ピーク電流密度9.38 milliamperes per square centimeterを達成し、従来のグラフェン酸化物ベースのシステムを大幅に上回る性能を示した。この技術は、エネルギー効率を低下させる水電解の酸素発生反応を回避し、より効率的な水素製造を可能にする。

なぜ重要か

判断上の焦点は「ナノ特性を再現可能で安全な製品価値へ変換する道筋」である。見出しだけで採用せず、用途と運用条件で再現できるかを確認する。

事業への読み

事業会社は現在の認定・調達・製品ロードマップへの影響を比較する。材料・装置・技術企業は、分散、界面、ロット再現性、EHS、量産採算を同時に示す。

ACTION

30日以内に、システム差が測れ、認定経路が見える用途へ評価を集中する。結果と担当者をP07の評価票へ記録する。

UNKNOWN

記事だけでは確定しない項目: スケールアップ、計測、毒性、歩留まり、界面安定性。

編集スコア 18/25 | 成熟度 2/5 | 判断場所: システム・導入

P08 CaO2/CZ/GOXナノ粒子|がん細胞を飢餓状態にし2つの細胞死を誘発する性能

A08 | 材料統合 | 試作

日付未収録

FACT

グルコースを消費して2つのプログラム細胞死(パイロトーシスとクプロトーシス)を誘発し、腫瘍を縮小させるナノ粒子「CaO2/CZ/GOX」が開発されました。マウス実験において、がん細胞のエネルギー源である糖を奪いながら、免疫系を活性化させることで抗腫瘍効果を発揮することが示されています。この技術は、がん細胞特有の代謝特性と酸性環境を利用して選択的に攻撃するため、正常細胞への毒性を抑えた治療法の可能性を提示しています。

なぜ重要か

判断上の焦点は「ナノ特性を再現可能で安全な製品価値へ変換する道筋」である。見出しだけで採用せず、用途と運用条件で再現できるかを確認する。

事業への読み

事業会社は現在の認定・調達・製品ロードマップへの影響を比較する。材料・装置・技術企業は、分散、界面、ロット再現性、EHS、量産採算を同時に示す。

ACTION

30日以内に、システム差が測れ、認定経路が見える用途へ評価を集中する。結果と担当者をP08の評価票へ記録する。

UNKNOWN

記事だけでは確定しない項目: スケールアップ、計測、毒性、歩留まり、界面安定性。

編集スコア 18/25 | 成熟度 2/5 | 判断場所: 技術・工程

FACTは収集記事に接続し、事業への読み、ACTION、UNKNOWNは編集判断として分離する。

P09 H5N1 mRNA-LNPワクチン|乳牛の乳腺感染を防ぐ有効性と免疫応答の検証

A12 | 用途実証 | 研究

日付未収録

FACT

乳牛における高病原性鳥インフルエンザ(HPAI)H5N1感染を防ぐmRNA-LNPワクチンの有効性が確認されました。ワクチン接種した乳牛は、未接種群に比べて乳中のピークウイルスRNA量が約1,000倍低く、乳腺炎や乳腺線維化の発生率も低下しました。乳腺がウイルスの主要な複製部位である乳牛において、血清および乳中の両方で抗体を誘導できるため、酪農産業の経済損失抑制と人間への感染リスク低減が期待されます。

なぜ重要か

判断上の焦点は「ナノ特性を再現可能で安全な製品価値へ変換する道筋」である。見出しだけで採用せず、用途と運用条件で再現できるかを確認する。

事業への読み

事業会社は現在の認定・調達・製品ロードマップへの影響を比較する。材料・装置・技術企業は、分散、界面、ロット再現性、EHS、量産採算を同時に示す。

ACTION

30日以内に、システム差が測れ、認定経路が見える用途へ評価を集中する。結果と担当者をP09の評価票へ記録する。

UNKNOWN

記事だけでは確定しない項目: スケールアップ、計測、毒性、歩留まり、界面安定性。

編集スコア 18/25 | 成熟度 1/5 | 判断場所: 技術・工程

P10 カーボンペンタヘプタイト・ナノリボン|平面状の共有結合金属の合成と導電性能

A11 | 量産・安全 | 研究

日付未収録

FACT

平面状のカーボンペンタヘプタイト・ナノリボン(CPHN)のオンサーフェス合成に成功し、そのうちの一種が「共有結合金属」として機能することが明らかになりました。特にCPHN 1は、金属製カーボンナノチューブに匹敵する、量子限界に近い弾道伝導に近い導電性を示します。これにより、原子レベルで定義された1次元導体としての実現が可能となり、将来的なオールカーボン電子デバイスの構築に向けた道が開かれました。

なぜ重要か

判断上の焦点は「ナノ特性を再現可能で安全な製品価値へ変換する道筋」である。見出しだけで採用せず、用途と運用条件で再現できるかを確認する。

事業への読み

事業会社は現在の認定・調達・製品ロードマップへの影響を比較する。材料・装置・技術企業は、分散、界面、ロット再現性、EHS、量産採算を同時に示す。

ACTION

30日以内に、システム差が測れ、認定経路が見える用途へ評価を集中する。結果と担当者をP10の評価票へ記録する。

UNKNOWN

記事だけでは確定しない項目: スケールアップ、計測、毒性、歩留まり、界面安定性。

編集スコア 18/25 | 成熟度 1/5 | 判断場所: 技術・工程

関係者別プレイブックと0-5年ロードマップ

関係者	NOW | 0-30日	NEXT | 1-12か月	LATER | 1-5年
事業会社	システム差が測れ、認定経路が見える用途へ評価を集中する	量産相当条件で受入基準と停止基準を明示して評価する。	技術・供給者の変更を吸収できるポートフォリオと設計へ移る。
材料・装置・技術企業	分散、界面、ロット再現性、EHS、量産採算を同時に示す	顧客と信頼性・工程窓・故障解析の共通データを作る。	界面、履歴、ライフサイクル支援、回収サービスを標準化する。
商社・投資・法務	Map スケールアップ、計測、毒性、歩留まり、界面安定性.	能力、品質、変更通知、責任、代替、撤退を契約へ入れる。	地域・技術・顧客の集中リスクを分散する。

ロードマップ

NOW | 0-30日
証拠台帳
担当: Strategy + quality
成果物: claim, source, condition, owner

NOW | 0-30日
リスク選別
担当: Procurement + legal
成果物: unknowns, alternatives, stop

NEXT | 1-12か月
共同認定
担当: R&D + supplier
成果物: 工程窓・故障データ

NEXT | 1-12か月
商用ゲート
担当: Business + finance
成果物: 単位採算・供給能力

LATER | 1-5年
プラットフォーム戦略
担当: 経営
成果物: ポートフォリオ・界面ロードマップ

LATER | 1-5年
サービス層
担当: Operations + channel
成果物: 監視・保守・回復

Go / No-Goゲート

ゲート	担当	必要な証拠	中止条件
G1 証拠	品質	出典・試験条件・再現性	追跡可能な証拠なし
G2 統合	研究開発	界面・工程窓・故障解析	システム条件を満たさない
G3 商用	事業	能力・総原価・契約・代替	採算または供給が成立しない
G4 運用	運用	監視・保守・変更通知・撤退	責任ある運用計画なし

分析対象記事 | 01-07件目

全記事の正式タイトルと元記事URLを省略せず表示する。URLは折返しても全文を保持し、クリックできる。

ID	記事タイトル(全文)	元記事URL(全文・クリック可能)
A01	LiMn0.7Fe0.3PO4/C/CNTs|CNT被覆リチウム正極の100C超急速充電性能	https://bioengineer.org/carbon-nanotube-wrapped-lithium-cathode-holds-charge-at-100c-rates/
A02	カーボンナノチューブ量子センサ|室温でのスピン読み出し成功と常温動作の課題	https://quantumzeitgeist.com/carbon-nanotube-spins-read-at-room-temperature/
A03	タンデム量子ドット光検出器|1550nm LiDARの高速化と耐グレア性能の向上	https://bioengineer.org/tandem-quantum-dot-photodiodes-bring-fast-glare-resistant-1550-nm-lidar-closer/
A04	MXene-パラジウム電極|メタノール分解による低コスト水素製造の性能と構造	https://bioengineer.org/layered-mxene-palladium-electrodes-split-methanol-to-make-hydrogen-cheaply/
A05	EMIシールド材料|モジュール式ナノファイバーネットワークの性能と設計手法	https://bioengineer.org/modular-nanofiber-network-achieves-72-75-db-absorption-dominant-emi-shielding/
A06	ハイブリッド・シリコンシーラント|シリカエアロゲル等の配合による耐火性能と強度	https://bioengineer.org/hybrid-silicone-sealant-withstands-fire-for-over-an-hour-in-building-joints/
A07	CsEuI3ナノ結晶|単一成分で白色発光を実現するペロブスカイトLEDの性能と課題	https://bioengineer.org/ligand-engineered-cseui3-nanocrystals-deliver-efficient-single-component-white-electroluminescence/

分析対象記事 | 08-14件目

全記事の正式タイトルと元記事URLを省略せず表示する。URLは折返しても全文を保持し、クリックできる。

ID	記事タイトル(全文)	元記事URL(全文・クリック可能)
A08	CaO2/CZ/GOXナノ粒子|がん細胞を飢餓状態にし2つの細胞死を誘発する性能	https://bioengineer.org/glucose-eating-nanoparticle-fires-up-two-cell-death-pathways-to-fight-tumors/
A09	リチウム抽出膜|清華大学が開発した低品位塩水からのMg除去率99.53%の性能	https://bioengineer.org/counter-ions-enable-selective-lithium-extraction-from-low-quality-brines/
A10	不均一メタレンズアレイ|XR向けライトフィールドディスプレイの視野角を50度に拡大	https://bioengineer.org/heterogeneous-metalens-array-widens-light-field-xr-displays/
A11	カーボンペンタヘプタイト・ナノリボン|平面状の共有結合金属の合成と導電性能	https://doi.org/10.1038/s41586-026-11202-2
A12	H5N1 mRNA-LNPワクチン|乳牛の乳腺感染を防ぐ有効性と免疫応答の検証	https://doi.org/10.1038/s41587-026-03343-6
A13	グラフェンの電子遷移|Landau-Zener-Majorana遷移の可視化と高速半導体への応用	https://quantumzeitgeist.com/julich-graphene-quantum-leap-electrons-jump/
A14	Ag-S-Te量子ドット材料|田中貴金属が開発した鉛フリー赤外受光材の性能とコスト	https://response.jp/article/2026/10/28/418316.html

ナノテクノロジー 採用記事全文集

出力日: 2026-11-01

採用記事数: 14 件

収録記事一覧

#01 LiMn0.7Fe0.3PO4/C/CNTs｜CNT被覆リチウム正極の100C超急速充電性能

#02 カーボンナノチューブ量子センサ｜室温でのスピン読み出し成功と常温動作の課題

#03 タンデム量子ドット光検出器｜1550nm LiDARの高速化と耐グレア性能の向上

#04 MXene-パラジウム電極｜メタノール分解による低コスト水素製造の性能と構造

#05 EMIシールド材料｜モジュール式ナノファイバーネットワークの性能と設計手法

#06 ハイブリッド・シリコンシーラント｜シリカエアロゲル等の配合による耐火性能と強度

#07 CsEuI3ナノ結晶｜単一成分で白色発光を実現するペロブスカイトLEDの性能と課題

#08 CaO2/CZ/GOXナノ粒子｜がん細胞を飢餓状態にし2つの細胞死を誘発する性能

#09 リチウム抽出膜｜清華大学が開発した低品位塩水からのMg除去率99.53%の性能

#10 不均一メタレンズアレイ｜XR向けライトフィールドディスプレイの視野角を50度に拡大

#11 カーボンペンタヘプタイト・ナノリボン｜平面状の共有結合金属の合成と導電性能

#12 H5N1 mRNA-LNPワクチン｜乳牛の乳腺感染を防ぐ有効性と免疫応答の検証

#13 グラフェンの電子遷移｜Landau-Zener-Majorana遷移の可視化と高速半導体への応用

#14 Ag-S-Te量子ドット材料｜田中貴金属が開発した鉛フリー赤外受光材の性能とコスト

#01 LiMn0.7Fe0.3PO4/C/CNTs｜CNT被覆リチウム正極の100C超急速充電性能

公開日 2026年10月29日　Bioengineer.org（Journal of Materials Science の論文紹介）



概要

カーボンナノチューブ（CNT）で被覆したリチウムマンガン鉄リン酸塩（LMFP）正極材料が、100Cという超高レートでの充電・放電においても高い容量を維持することが示されました。100Cのレートで1000サイクル後も67.5%（102.1 mAh g−1）の容量保持率を達成しています。CNTによる導電パスの形成が、急速充放電時の構造安定性と電子輸送効率を大幅に向上させています。

詳細

主要成果

リチウムイオン電池向けに開発されたLiMn0.7Fe0.3PO4（LMFP）とカーボン、およびカーボンナノチューブ（CNT）を組み合わせた複合材料が、超高レートでの充放電性能を実現しました。電気化学テストにおいて、0.1Cでは168.5 mAh g−1、1Cでは156.2 mAh g−1、10Cでは142.9 mAh g−1の容量を記録し、さらに100Cという極めて高いレートにおいても96.7 mAh g−1の容量を維持することに成功しました。

技術・詳細

本材料は、パワーリチウムイオン電池への適用を目的とした球状のマイクロメートルサイズ粒子として合成されています。合成プロセスは以下の2段階で構成されています。

- **共沈法：**鉄とマンガンが固溶体構造を形成するMn0.7Fe0.3CO3前駆体を生成します。
- **スプレードライおよび高温焼結：**前駆体を最終的な球状のLMFP/C/CNT粒子へと変換します。

この2段階のアプローチは、急速サイクル中にリチウムイオンと電子が正極内を移動する速度を左右する重要な要因である「粒子形態」を制御するために設計されました。特にCNTは中心的な役割を担っており、CNTを中心とした複合構造が一次粒子の過剰な成長を抑制し、材料全体にわたって高導電性のパスを供給します。

背景・業界の文脈

急速充放電における耐久性の評価では、100Cレートで1000サイクル走行後、容量は102.1 mAh g−1（保持率67.5%）を維持しました。研究チームは、この安定性の要因として、LMFP粒子間におけるCNTの「導電ブリッジ効果」を挙げています。CNTが粒子間の電子輸送と全体的な電気伝導性を高めることで、一次粒子同士の結合が密接になり、繰り返しのサイクルにおいても構造的な安定性が向上したと考えられています。

今後の展望

本研究の結果は、特定の合成条件およびテスト環境下での測定値であり、商用セルでの性能を保証するものではありません。実用化に向けては、パックレベルでの検証や、異なる温度条件下での動作確認などのバリデーションが必要となります。本成果は、Jishun Yang、Yuan Ping、Hongjiang Yu、Jiyang Deng、Cuilin Yu、Gang Yangらによる研究チームによって発表され、Journal of Materials Science誌に掲載されました。

元記事: https://bioengineer.org/carbon-nanotube-wrapped-lithium-cathode-holds-charge-at-100c-rates/

収集日: 2026年10月31日 | 自動記事収集・翻訳システム (AI使用)

#02 カーボンナノチューブ量子センサ｜室温でのスピン読み出し成功と常温動作の課題

公開日 2026年10月26日　Quantum Zeitgeist　ベルギー



概要

アントワープの研究チームが、単層カーボンナノチューブ（SWCNT）を用いた量子センサにおいて、室温でのスピン状態の光学的読み出しに成功しました。塩素、臭素、ヨウ素で機能化された(6,5)カイラリティのチューブ内に「パラハロフェニル量子欠陥」を導入し、トリプレット励起子をトラップすることで実現しています。これにより、従来は2.5 Kという極低温環境が必要だった量子センシングが常温・大気条件下で可能となり、常磁性分子の検出に向けた実証が行われました。

詳細

主要成果

アントワープの研究チームは、単層カーボンナノチューブ（SWCNT）に意図的に導入した欠陥を利用し、室温および大気条件下で動作する安定した量子センサを開発しました。この技術の核心は、カーボンナノチューブ内のエンジニアリングされた欠陥が「ポケット」として機能し、量子情報を運ぶトリプレット励起子をトラップできる点にあります。これにより、室温環境下で光を用いたスピン状態の初期化および読み出しが可能となり、常磁性分子のセンシングという概念実証（プルーフ・オブ・プリンシプル）を達成しました。

技術・詳細

本研究では、(6,5)カイラリティに分類される単層カーボンナノチューブを用い、塩素、臭素、またはヨウ素で機能化することで「パラハロフェニル量子欠陥」を生成しています。これらの欠陥はトリプレット励起子の強力なトラップとして機能し、光検出磁気共鳴（ODMR）を用いることで、極低温冷却を必要とせずにトルエン分散液中で直接的にスピン状態の読み出しが行われました。

具体的な技術的特徴は以下の通りです。

- **光学特性：**sp3機能化に伴う光ルミネッセンス量子収率の向上に合わせ、吸収および放出バンドが1150nmへとレッドシフトしたことが確認されました。
- **スピン相互作用：**室温でのハーフフィールドODMRスペクトルにより、欠陥部位に局在したトリプレット励起子と、より遠方に位置する電子-正孔ペアの両方から明確な信号が検出され、複雑なスピン相互作用の存在が示されました。
- **コヒーレンス時間：**カーボン-13の含有率がわずか1.1%と低いため、超微細結合が抑制され、マイクロ秒単位の長いスピンコヒーレンス時間が期待されています。

背景・業界の文脈

従来の量子センシング技術の多くは、極端な冷却要件（例：2.5 K）や真空環境を必要としており、専門的な研究室外での運用が困難でした。本プラットフォームは、固体欠陥プラットフォームの耐久性と、分子量子ビット設計の柔軟性を併せ持っています。特に、深い光学トラップを形成することで光安定性が向上しており、これは長期的なセンシングアプリケーションにおいて極めて重要な要素となります。

今後の展望

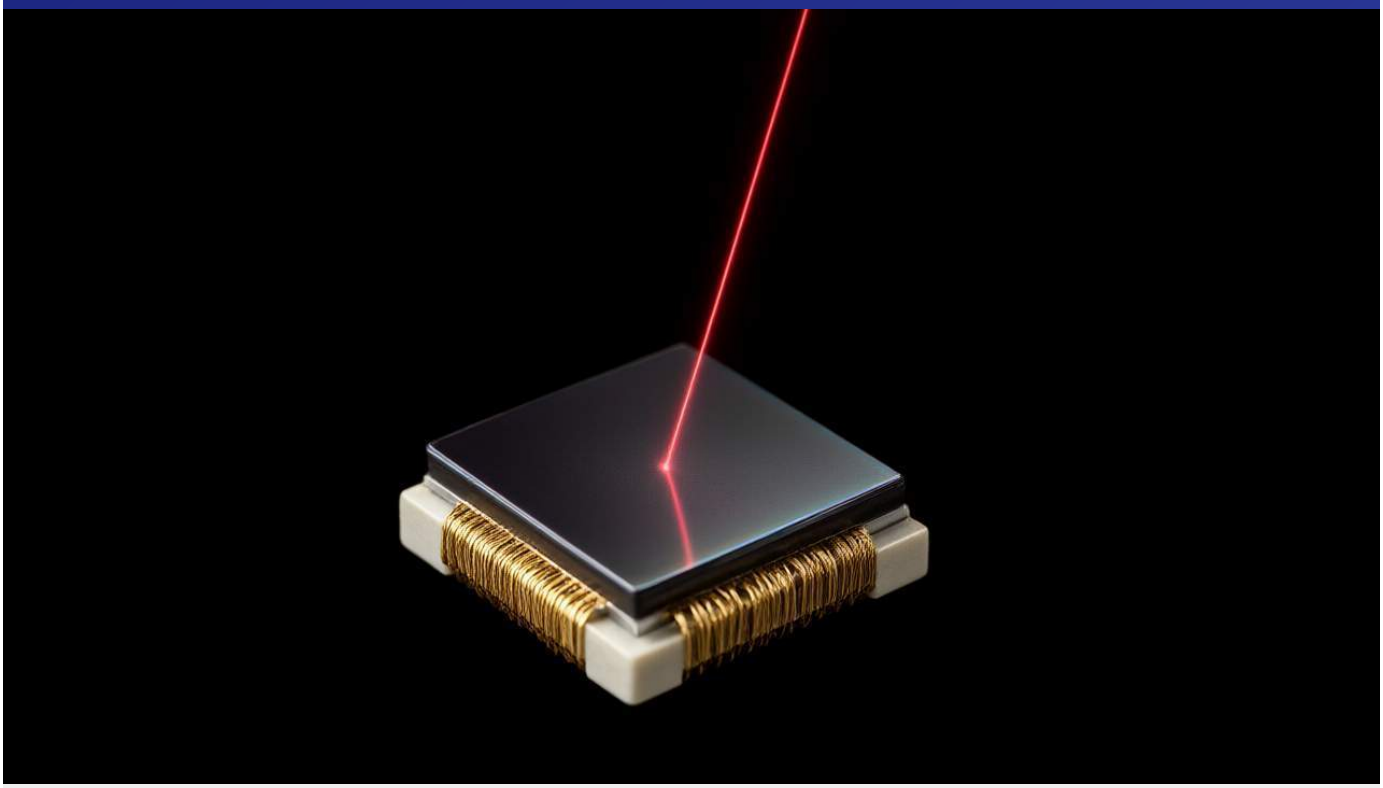
室温での動作を実現したことで、専門的な設備がない環境への普及に向けた大きな一歩を踏み出しましたが、実用化に向けてはスケールアップが喫緊の課題となっています。具体的には、精密に配置された欠陥を大規模なアレイとして作製する手法が未確立であり、成熟した作製技術を持つ既存の固体欠陥プラットフォームと比較して、集積密度や配置精度に課題が残っています。また、実用的なセンシング時間帯を制限するデコヒーレンス機構の定量化についても、さらなる研究が必要とされています。

元記事: https://quantumzeitgeist.com/carbon-nanotube-spins-read-at-room-temperature/

収集日: 2026年10月31日 | 自動記事収集・翻訳システム (AI使用)

#03 タンデム量子ドット光検出器｜1550nm LiDARの高速化と耐グレア性能の向上

公開日 2026年10月27日　Bioengineer.org（Light: Science & Applications の論文紹介）
中国



概要

華中科技大学の研究チームが、1550nm帯のLiDAR向けに、背景光干渉の抑制と応答速度の向上を同時に実現したタンデムPbSeコロイド量子ドット光検出器を開発しました。このデバイスは応答時間1.01nsを達成し、可視光領域の外部量子効率を単接合デバイス比で約13分の1に低減しつつ、1550nmの信号強度を97.9%維持することに成功しています。高コストなInGaAs検出器に代わる低コストなシリコン回路統合型検出器としての実用化に近づく成果です。

詳細

主要成果

華中科技大学のLiang Gao教授ら率いるチームは、1550nm波長のLiDAR検出における長年の課題であった「背景光（太陽光などの可視光）による干渉」と「応答速度の制限」を同時に解決するタンデムPbSeコロイド量子ドット光検出器を開発しました。実証実験では、応答時間1.01ns、1550nmにおける比検出能2.29 × 10^11 Jones、線形ダイナミックレンジ99.6dB以上という高い性能を記録しています。また、強い広帯域背景光の下でもパルス信号強度の97.9%を維持し、センチメートルレベルの空間分解能を持つ1550nm LiDARシステムを構築することに成功しました。

技術・詳細

本研究の核心は、材料の最適化だけでなく、光学的な前処理と電子的な後処理を単一デバイスに統合したタンデム構造にあります。具体的には、2つの量子ドット光検出器を光学的に積層し、電気的に直列に接続したアーキテクチャを採用しています。

- **スペクトル選択性の実現：** 光はまずフロント接合を通過し、次にリア接合に到達します。可視光はフロント接合で強く吸収されてキャリアを生成しますが、リア接合はほぼ暗いままとなります。直列接続されているため、この光電流の不一致が可視光への応答を抑制します。一方、1550nmの光は深く浸透し、両方の接合でバランスの取れた光電流を生成するため、ターゲット信号はほぼそのまま通過します。これにより、可視光領域の外部量子効率を単接合デバイス比で約13分の1に低減しました。
- **応答速度の高速化：** 2つの接合をカスケード接続することで、実効的な接合容量が半分になり、量子ドット光検出器のボトルネックとなっていたRC時定数が低減されました。これにより、光収集効率を維持したまま、Time-of-Flight（飛行時間）計測に不可欠なナノ秒単位のパルス捕捉が可能な高速応答を実現しています。

背景・業界の文脈

LiDAR技術は自動運転、ロボティクス、MR、産業モニタリングなどの基幹技術となっており、業界では眼への安全性やコヒーレントセンシングに優れた1550nm帯への移行が進んでいます。しかし、この波長を検出できるInGaAs光検出器は製造コストが高く、プロセスが複雑であるため、コンシューマー向け電子機器や自動運転車が求める大面積かつ低コストな検出器アレイへの適用が困難でした。コロイド量子ドットは、バンドギャップの調整が可能でシリコン読み出し回路との統合が容易なため有望視されていましたが、従来の単接合構造では屋外の可視光ノイズの分離ができず、応答速度も不十分であるという課題がありました。

今後の展望

本研究で示された溶液プロセスによる量子ドット検出器は、高速性、スペクトル選択性、耐干渉性を同時に備えており、シリコンベースの読み出し回路と互換性を持つ低コストな1550nm検出器への道を拓くものです。実用化に向けては、量子ドットの表面パッシベーション、薄膜の均一性、アレイ製造、およびシリコン読み出し回路への統合といったエンジニアリング上の課題が残っています。これらが解決されれば、自動運転のみならず、ロボットビジョン、コンシューマー向け深度センシング、MR、赤外線イメージングなど、広範な分野への応用が期待されます。

元記事: https://bioengineer.org/tandem-quantum-dot-photodiodes-bring-fast-glare-resistant-1550-nm-lidar-closer/

収集日: 2026年10月31日 | 自動記事収集・翻訳システム (AI使用)

#04 MXene-パラジウム電極｜メタノール分解による低コスト水素製造の性能と構造

公開日 2026年10月28日　Bioengineer.org（Carbon Neutrality の論文紹介）　アメリカ



概要

MXeneとパラジウムを用いた積層電極により、メタノール酸化反応（MOR）を通じて低コストで水素を製造する手法が開発された。15層の積層構造において、ピーク電流密度9.38 milliamperes per square centimeterを達成し、従来のグラフェン酸化物ベースのシステムを大幅に上回る性能を示した。この技術は、エネルギー効率を低下させる水電解の酸素発生反応を回避し、より効率的な水素製造を可能にする。

詳細

主要成果

研究チームは、MXeneとパラジウム（Pd）ナノ粒子を交互に積層させた電極を開発し、メタノール酸化反応（MOR）を利用して効率的に水素を製造することに成功した。この電極は、15層の積層構造においてピーク電流密度9.38 milliamperes per square centimeterを記録した。これは、以前に報告されたグラフェン酸化物支持パラジウム多層膜（6層）の最大値の3倍を超える性能であり、他のパラジウムベースの電極触媒と比較しても競争力のある数値である。

技術・詳細

電極の作製には、静電的なレイヤー・バイ・レイヤー（LbL）アセンブリ法が採用された。負に帯電した2次元遷移金属炭化物であるMXeneナノシートと、DMAPリガンドで安定化され正に帯電したパラジウムナノ粒子を交互に堆積させる手法である。ゼータ電位の測定では、MXene分散液が-35.5 millivolts、パラジウム粒子が+35.0 millivoltsであり、静電的なペアリングが確認された。

膜厚の制御についても精密に行われており、5、10、15、20層の積層において、それぞれ50.5、52.9、68.7、107.4 nanometersの厚さが記録された。また、水晶振動子マイクロバランス（QCM）による追跡では、MXene層が1層あたり約5.72 micrograms per square centimeter、パラジウム層が約2.84 micrograms付加されることが判明している。

性能分析の結果、電流密度の向上はパラジウム単体の活性向上ではなく、導電性MXeneフレームワーク内により多くの電気化学的にアクセス可能なパラジウムが配置されたことによるものであることが分かった。なお、20層まで厚くすると、拡散制限により電流密度と電気化学的表面積が低下する傾向が見られた。

背景・業界の文脈

現在、水素製造の主流である水蒸気メタン改質や石炭ガス化は、高温プロセスであり多量の二酸化炭素を排出する。一方、電気化学的な水電解はクリーンな手法だが、アノードでの酸素発生反応（OER）の速度が遅いため、理論電圧1.23 voltsに対し実際には1.5 volts以上の電圧が必要となり、エネルギー効率が低下するという課題がある。本研究では、OERを酸化電位が低く反応速度が速いメタノール酸化反応（MOR）に置き換えることで、このエネルギー損失を回避している。

今後の展望

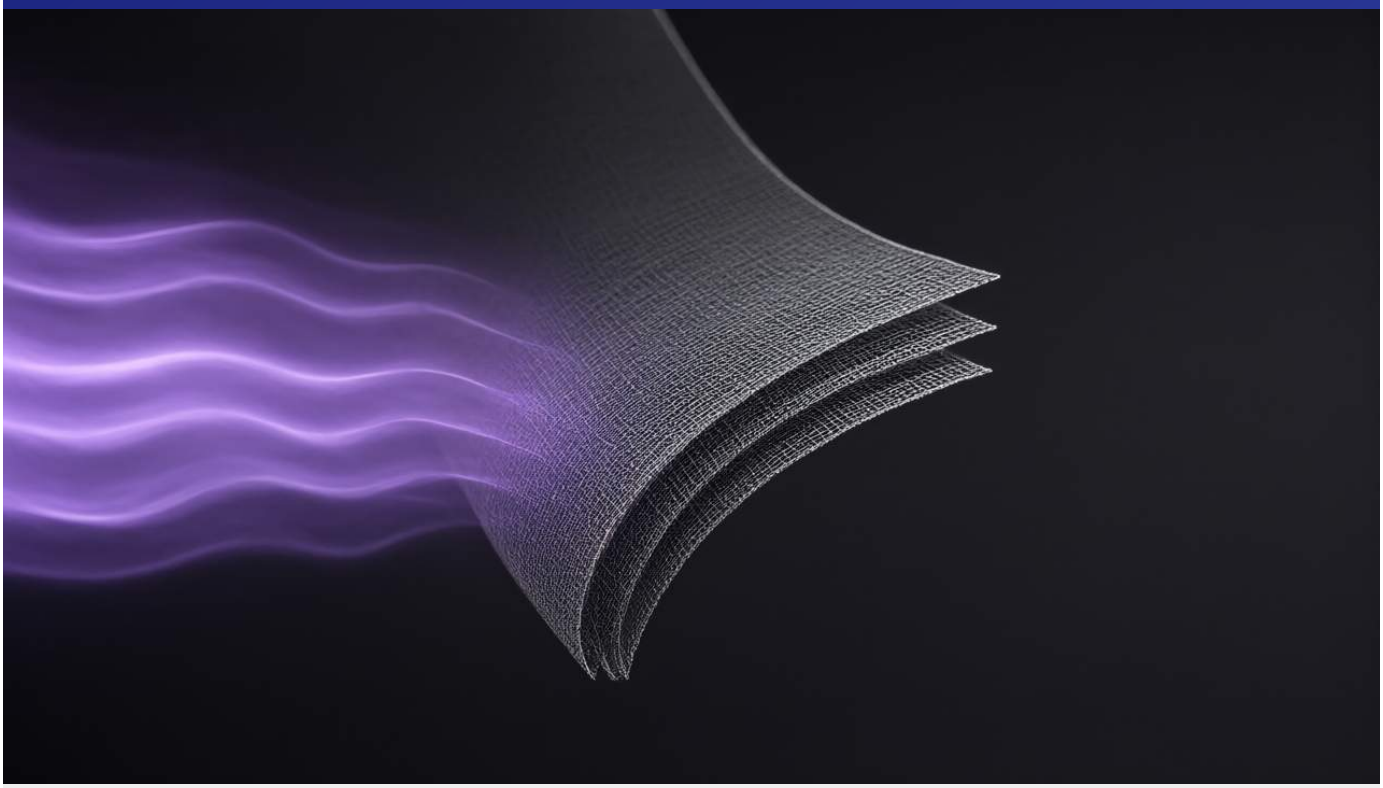
開発された電極の耐久性は、100サイクル後でも初期電流密度の74.4 percentを維持し、0.2 voltsでの5時間のクロノアンペロメトリー試験においても安定した電流（約0.014〜0.016 milliamperes）を示した。電子顕微鏡観察では局所的な粒子の凝集は見られたものの、大規模な亀裂や剥離は確認されなかった。今後は、作動中の電極内部で起こるチタンの酸化状態の変化や電荷移動抵抗の変動など、界面での詳細な挙動の解明が重要となる。

元記事: https://bioengineer.org/layered-mxene-palladium-electrodes-split-methanol-to-make-hydrogen-cheaply/

収集日: 2026年10月31日 | 自動記事収集・翻訳システム (AI使用)

#05 EMIシールド材料｜モジュール式ナノファイバーネットワークの性能と設計手法

公開日 2026年10月29日　Bioengineer.org（Advanced Composites and Hybrid Materials の論文紹介）



概要

高吸収かつ高遮蔽性能を同時に実現するモジュール式電磁波干渉（EMI）シールド材料が開発されました。C5/T4/A3と指定された複合材は、72.75 dBのEMI遮蔽効果を達成し、入射波の反射率を0.04まで抑制しています。インピーダンス整合と破壊的干渉を最適化する3層構造により、従来の設計では困難だった「高吸収・高遮蔽」の両立を可能にしました。

詳細

主要成果

研究チームは、高い電磁波吸収率と高いEMI遮蔽効果（EMI SE）を同時に達成する、モジュール式に組み立てられたEMIシールド材料を開発しました。特に「C5/T4/A3」と命名された複合材は、72.75 dBという高い遮蔽効果を記録しながら、入射波の反射率をわずか0.04に抑えることに成功しています。また、反射率0.1以下を維持する低反射帯域幅は3.40 GHzに及び、X-band（Xバンド）の81%をカバーしています。この性能評価には、レーダー断面積（RCS）シミュレーションによる検証も加えられています。

技術・詳細

本材料は、改良された電紡（エレクトロスパン）TPUフィルムをベースとした、設計済みの3層構造アーキテクチャを採用しています。従来のサルisburyスクリーン（Salisbury screen）に代わる手法として提案されており、各層が以下の役割を担っています。

- **最上層（整合層）：**カーボンナノチューブでラップされた多孔質ナノファイバーネットワークで構成され、インピーダンス整合（電磁波が界面で反射せず内部へ浸入しやすくすること）を担います。
- **中間層：**精密に調整された層であり、破壊的干渉（波同士を打ち消し合わせること）を強化して吸収を高める役割を果たします。
- **最下層（反射層）：**銀コーティングされたナノファイバーネットワークで構成され、完全な反射を保証します。

研究では、整合層と最下層の導電性、および層間の厚みが、全体のEMI遮蔽効果と吸収率にどのように影響するかを体系的に分析しました。これにより、インピーダンス整合と干渉キャンセル（打ち消し）の最適な相乗効果を特定し、構造内における導電性ナノファイバーネットワークの役割を明らかにしています。

背景・業界の文脈

一般的に、単一の設計において「高い吸収率」と「高い遮蔽性能」を同時に実現することは困難であるとされてきました。本研究は、導電性ナノファイバーネットワークを用いた非対称な層構造を導入することで、この課題に対処しています。特に、インピーダンス整合によって電磁波を内部に取り込み、中間層での干渉と最下層での反射を制御することで、吸収主導（absorption-dominant）の遮蔽を実現しています。

今後の展望

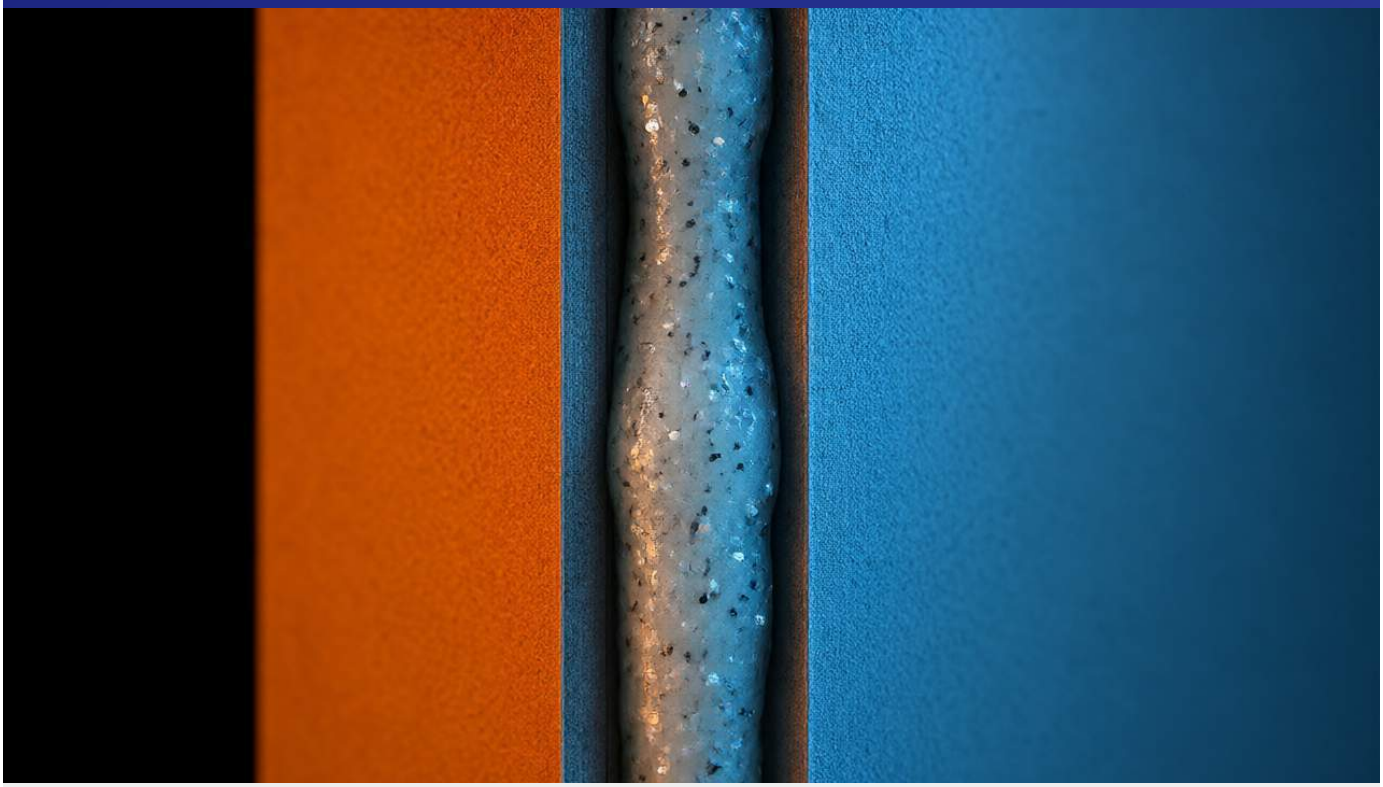
本アーキテクチャの特筆すべき点は、その「モジュール性」にあります。最下層が交換可能な設計となっているため、インピーダンス整合や干渉キャンセルの基本メカニズムを変更することなく、最下層の導電性を変えるだけで遮蔽性能を直接的にチューニングすることが可能です。著者らは、この成果が高性能な吸収主導型EMI遮蔽材料を設計するための指針になると述べています。

元記事: https://bioengineer.org/modular-nanofiber-network-achieves-72-75-db-absorption-dominant-emi-shielding/

収集日: 2026年10月31日 | 自動記事収集・翻訳システム (AI使用)

#06 ハイブリッド・シリコンシーラント｜シリカエアロゲル等の配合による耐火性能と強度

公開日 2026年10月29日　Bioengineer.org（Architectural Research の論文紹介）



概要

シリカエアロゲルとナノグラフェンフレークを配合した新しいハイブリッド・シリコンシーラントが、標準的な耐火試験において60分以上の遮炎性と断熱性を維持することに成功した。従来の配合が約40分で失敗したのに対し、表面処理を施したナノ材料の導入により、耐火性と機械的強度の両立を実現している。これにより、高層ビルの接合部における弱点であった耐火シーリング材の性能向上が期待される。

詳細

主要成果

研究チームは、シリカエアロゲルとナノグラフェンフレークを添加した改良型シリコンシーラントを開発し、標準的な耐火温度曲線を用いた試験（KS F 2845）において、60分以上の遮炎性と断熱性の基準を満たすことに成功した。対照群となった従来の配合では、非加熱面の温度上昇が約37分で臨界点に達し、約40分で火炎の貫通が確認され、基準を満たさなかった。また、表面処理を最適化した「実験グループ4」では、引張強度が対照群の28 kgf/cm²から41 kgf/cm²へと46.43%向上し、密着強度も30 kgf/cm²（約15.38%増）に達した。

技術・詳細

本技術の核心は、相補的な2つのナノ材料の活用と、その分散性を高める表面処理にある。シリカエアロゲルは、空隙率が90%を超え、室温で約0.013 W/(m·K)という極めて低い熱伝導率を持つため、熱伝達経路を遮断して温度上昇を抑制する。一方、厚さ約1ナノメートルのナノグラフェンフレークは、物理的な障壁としてガスや熱の移動を妨げ、酸素の侵入や可燃性分解ガスの放出をブロックする緻密なチャー（炭化）層の形成を促進する。

ナノ材料特有の凝集を防ぐため、研究チームは以下の表面修飾戦略を採用した。

- 大気圧プラズマ処理による化学的に反応性の高い官能基の生成。
- シリカエアロゲルをリン酸アンモニウム水溶液に、ナノグラフェンフレークをシランエマルションに浸漬させ、樹脂との化学的な架橋を誘導。

さらに、高温でガラス状の保護層を形成するホウ素処理チタンや、熱酸化分解連鎖を遮断するラジカル捕捉剤として機能するベンズイミダゾロン化合物（Pigment Yellow 181）を配合している。

背景・業界の文脈

高層ビルの防火区画における接合部や設備貫通部のシーラントラインは、長年、防火エンジニアにとって困難な弱点とされてきた。従来の耐火シーラントは、水酸化アルミニウムや酸化鉄などの無機充填剤を大量に使用して耐火性を高めていたが、これはシーラントに不可欠な弾性や密着性を低下させ、建物の日常的な挙動や経年劣化への耐性を損なうというトレードオフの関係にあった。

今後の展望

本研究で示された防御メカニズムは、段階的な複合防御として機能する。初期段階ではエアロゲルが内部温度を約200 °C以下に抑え、次いで約220 °C以上で水酸化アルミニウムが吸熱分解して冷却水蒸気を放出し、約300〜600 °Cの間ではナノグラフェンがチャー骨格を構築してガス移動を制限し、600 °C以上の高温域でもエアロゲルの構造崩壊を防ぐ。最適化された配合（実験グループ4）は、200 °Cで4週間の加速熱老化後も初期引張強度の85%以上を維持した。今後は、ラボスケールの試験結果から、実際の現場への適用に向けた検証が課題となる。

元記事: https://bioengineer.org/hybrid-silicone-sealant-withstands-fire-for-over-an-hour-in-building-joints/

収集日: 2026年10月31日 | 自動記事収集・翻訳システム (AI使用)

#07 CsEuI3ナノ結晶｜単一成分で白色発光を実現するペロブスカイトLEDの性能と課題

公開日 2026年10月29日　Bioengineer.org（Nature Photonics の論文紹介）



概要

単一の発光材料から効率的な白色電界発光（EL）を実現する、リガンド設計を施したCsEuI3ナノ結晶が開発されました。この材料を用いたLEDは、最大外部量子効率8.3%、最大輝度8,941 cd m–2を達成し、256 × 256のアクティブマトリクスディスプレイへの統合にも成功しています。従来のRGB各色を個別にパターン化する困難さを回避し、カラーフィルターと組み合わせることで簡素かつ効率的なフルカラーディスプレイを実現する新たなアプローチとなります。

詳細

主要成果

研究チームは、リガンドエンジニアリングを施したCsEuI3ナノ結晶を用いることで、単一の材料から効率的な白色電界発光を実現しました。このデバイスは、ピーク外部量子効率（EQE）8.3%、最大輝度8,941 cd m−2という性能を達成しています。また、概念実証として、この白色ペロブスカイトLEDを256 × 256のアクティブマトリクスディスプレイチップにモノリシックに統合し、NTSC色域124%でダイナミックビデオおよびフルカラー画像の表示に成功しました。

技術・詳細

本技術の核心は、mCP（1,3-bis(N-carbazolyl)benzene）を用いたリガンド設計にあります。CsEuI3@mCPナノ結晶において、CsEuI3の無機場がEu2+イオンによる青色発光を維持させる一方で、表面リガンドの相互作用がEu2+の局所環境を変化させ、補完的な長波長発光を導入します。この青色発光とリガンド由来の長波長成分が組み合わさることで、演色評価数（CRI）85.7、CIE色度座標(0.33, 0.34)という理想に近い白色光が生成されます。

さらに、mCPリガンドは単なるスペクトル調整に留まらず、Eu2+発光中心の電気的活性化を促進し、シングレット（一重項）およびトリプレット（三重項）に関連する状態を含むリガンド支援励起を可能にします。これにより、単一の材料システム内で電荷注入と発光色の両方を制御する手法が確立されました。

背景・業界の文脈

次世代のフルカラーディスプレイ開発において、ペロブスカイトLEDは有望な候補とされていますが、赤・緑・青の各原色で効率が異なることや、材料が高解像度のパターニング技術と適合しにくいことが大きなボトルネックとなっていました。本研究では、個別のRGB発光体を配置するのではなく、「白色ペロブスカイトLED ＋ カラーフィルター」という構成を提案しています。この手法は、従来のフルカラーアクティブマトリクス方式で課題となっていた複雑なパターニング工程を回避できるため、より簡素で効率的なアプローチになるとされています。

今後の展望

本成果は、薄膜トランジスタ（TFT）バックプレーン上に256 × 256の構成で統合され、実用的なディスプレイチップとしての動作が確認されました。単一成分で白色光を得られるため、製造プロセスの簡略化が期待されます。なお、本結果は特定の研究室デバイスにおける報告値であり、詳細なデバイス統計や安定性データについては、今後の検証が必要とされています。

元記事: https://bioengineer.org/ligand-engineered-cseui3-nanocrystals-deliver-efficient-single-component-white-electroluminescence/

収集日: 2026年10月31日 | 自動記事収集・翻訳システム (AI使用)

#08 CaO2/CZ/GOXナノ粒子｜がん細胞を飢餓状態にし2つの細胞死を誘発する性能

公開日 2026年10月29日　Bioengineer.org（Materials Today Bio の論文紹介）　アメリカ



概要

グルコースを消費して2つのプログラム細胞死（パイロトーシスとクプロトーシス）を誘発し、腫瘍を縮小させるナノ粒子「CaO2/CZ/GOX」が開発されました。マウス実験において、がん細胞のエネルギー源である糖を奪いながら、免疫系を活性化させることで抗腫瘍効果を発揮することが示されています。この技術は、がん細胞特有の代謝特性と酸性環境を利用して選択的に攻撃するため、正常細胞への毒性を抑えた治療法の可能性を提示しています。

詳細

主要成果

銅ドープゼオライトフレームワーク（CZ）で包み、グルコースオキシダーゼ（GOX）を付着させた過酸化カルシウム（CaO2）コアを持つナノ粒子「CaO2/CZ/GOX」が、マウスの腫瘍縮小に有効であることが示されました。このナノ粒子は、がん細胞が激しく消費するグルコースを奪って飢餓状態にするだけでなく、「パイロトーシス」と「クプロトーシス」という2種類のプログラム細胞死を同時に誘発し、免疫系を動員して腫瘍を攻撃します。

技術・詳細

本システムは、各コンポーネントが連鎖的に反応するカスケード設計となっています。まずGOXがグルコースを消費して過酸化水素を生成し、同時にCaO2ナノ粒子からも過酸化水素とカルシウムイオンが放出されます。次に、腫瘍の酸性環境下で銅ドープZIF-8（金属有機構造体）から銅イオンが放出され、過酸化水素と反応してヒドロキシルラジカルなどの活性酸素種（ROS）を生成します。これにより、細胞のエネルギー工場であるミトコンドリア内部で酸化ストレスが自己増幅的に増大します。

物理的・化学的特性の検証では、以下の数値が確認されています。

- 組成：質量比でカルシウム6.14%、銅2.17%を含有。
- 負荷効率：GOXの負荷効率は4.3%。
- 安定性：水、緩衝生理食塩水、10%胎児牛血清中で7日間凝集せず安定。
- 放出挙動：pH 5.0の酸性条件下では、24時間以内にGOXの75%が放出された（中性pH 7.4では放出が大幅に抑制）。

細胞レベルの検証では、Hepa1-6マウス肝がん細胞に対して強力な細胞毒性を示した一方、正常肝細胞（AML12）への毒性は高濃度でも無視できるレベルでした。これは、糖代謝が活発で周囲が酸性であるがん細胞のみがこのカスケードを起動させるためです。

背景・業界の文脈

本技術は、ミトコンドリアのイオン恒常性を破壊し、膜電位を崩壊させることで細胞死を導きます。具体的には、銅誘導性細胞死（クプロトーシス）の中核となるタンパク質FDX1およびLIASの減少と、DLATの凝集が確認されました。同時に、Caspase-1/GSDMD経路を介したパイロトーシスが誘発され、細胞の膨張や膜破裂とともに、炎症性サイトカインIL-1βや乳酸脱水素酵素（LDH）が高レベルで放出されます。

今後の展望

この炎症性の細胞死は免疫信号として機能します。死にゆく腫瘍細胞がカルレティキュリンを表面に提示し、HMGB1を放出することで、CD8陽性T細胞などの免疫細胞を活性化させます。マウス実験では、腫瘍内でのCD8陽性およびCD4陽性T細胞の有意な増加、および脾臓と腫瘍における樹状細胞成熟マーカー（CD80、CD86）の上昇が確認されました。また、主要臓器への病理学的変化はなく、血球数や肝・腎機能マーカーも30日間にわたり正常範囲内であり、溶血率は150μg/mLでも5%未満と高い安全性が示されています。

元記事: https://bioengineer.org/glucose-eating-nanoparticle-fires-up-two-cell-death-pathways-to-fight-tumors/

収集日: 2026年10月31日 | 自動記事収集・翻訳システム (AI使用)

#09 リチウム抽出膜｜清華大学が開発した低品位塩水からのMg除去率99.53%の性能

公開日 2026年10月26日　Bioengineer.org（Nano Research の論文紹介、清華大学深圳）　中国



概要

清華大学深圳の研究チームが、低品位の塩水からリチウムを選択的に抽出できるポリ電解質挿入酸化グラフェン膜を開発しました。シミュレーションによる3段階のナノろ過プロセスにおいて、マグネシウムイオンを99.53%除去することに成功しています。これにより、マグネシウム濃度が高くリチウム回収が困難だった低品位塩水を、高品質なリチウム資源へとアップグレードできる可能性があります。

詳細

主要成果

清華大学深圳（Tsinghua Shenzhen International Graduate School）のYang Su氏らによる研究チームは、低品位の塩水からリチウムを効率的に分離・抽出する新しいナノろ過膜を開発しました。この膜を用いた3段階のシミュレーションろ過プロセスにおいて、マグネシウムイオンの除去率99.53%を達成したことが報告されています。特に、水和したリチウムイオンとマグネシウムイオンのサイズが近く、分離が困難とされる「高マグネシウム濃度かつ高Mg/Li比」の条件下で、効果的な分離性能を示しました。

技術・詳細

開発された膜は、酸化グラフェンにポリ電解質を挿入して作られた正電荷を持つ二次元膜です。緩やかな熱処理を施すことで材料をその場で（in situ）架橋させ、構造を安定化させるとともに、層間のナノチャネルの幅を調整可能にしました。この電荷を帯びたチャネルがサイズ排除に基づく輸送を促進し、リチウムイオンを通過させ、マグネシウムイオンを制限する仕組みとなっています。

研究チームは、周囲の溶液中のイオンがチャネルの有効幅を制御する「対イオン制御（counter-ion controlled）」メカニズムを提唱しています。具体的には以下のプロセスが想定されています。

- 塩化物イオンが正電荷のチャネル壁に吸着することで、層間の有効スペースが狭まり、水和イオンのサイズに基づいた分離能が強化される。
- 高塩濃度下では、マグネシウムの水和圏内の塩化物イオンとチャネル壁に結合している塩化物イオンとの間で対イオン交換が発生し、マグネシウムの有効な水和サイズが減少して一部が透過する。

このメカニズムは、高濃度時にイオン除去率が緩やかに低下する現象を説明するものとして提示されています。

背景・業界の文脈

再生可能エネルギー技術の普及に伴いリチウム需要は増加していますが、低品位の塩水は世界中に広く分布しているにもかかわらず、リチウム源として十分に活用されていません。その最大の要因は、リチウムに対してマグネシウムが大量に含まれていることであり、この高いMg/Li比がリチウム回収の大きな技術的障壁となっていました。

今後の展望

本研究は、膜構造と溶液化学の両方を制御することで、ナノ閉じ込め輸送システムにおけるイオンふるい性能を調整できることを示しました。ただし、今回の結果はシミュレーションによる多段階プロセスに基づいたものであり、フルスケールの工業的抽出操作で実証されたわけではありません。また、あらゆる塩水組成における性能が確立されたわけではないため、実用化に向けては、異なる化学組成や運転条件下での評価が必要であるとしています。

元記事: https://bioengineer.org/counter-ions-enable-selective-lithium-extraction-from-low-quality-brines/

収集日: 2026年10月31日 | 自動記事収集・翻訳システム (AI使用)

#10 不均一メタレンズアレイ｜XR向けライトフィールドディスプレイの視野角を50度に拡大

公開日 2026年10月26日　Bioengineer.org（Light: Science & Applications の論文紹介）
アメリカ



概要

不均一メタレンズアレイを用いることで、ライトフィールド近眼ディスプレイの視野角を従来の13度から約4倍の50度まで拡大させることに成功しました。各サブレンズを視野角領域に合わせて個別に最適化した設計により、回折限界に近い画質を維持しつつ、視覚疲労の原因となる輻輳調節矛盾（VAC）のない3D表示を実現しています。この技術は、軽量な光学素子で没入感の高いXRデバイスを実現するためのハードウェアアプローチとして期待されます。

詳細

主要成果

研究チームは、不均一メタレンズアレイ（Heterogeneous metalens array）を採用することで、ライトフィールド近眼ディスプレイの視野角を50度にまで拡大しました。これは、従来のライトフィールドディスプレイで報告されていた13度と比較して約4倍の広さになります。また、統合グラフィックスを搭載した標準的なノートPCにおいて、140fps（フレーム/秒）という高速なリアルタイムレンダリングを実現しました。プロトタイプでは、10cmから70cmの範囲で物理的に正確なフォーカスおよびデフォーカス挙動を持つ3Dコンテンツの再構成を実証しています。

技術・詳細

本技術の核心は、すべてのレンズユニットが同一構造である従来の「均一」なマイクロレンズアレイから脱却し、各サブレンズを割り当てられた視野角領域に合わせて個別にカスタマイズした点にあります。各ユニットは、凸レンズに相当する「集光位相」と、光を方向付けるプリズムに相当する「偏向位相」を組み合わせて構成されています。

このアプローチにより、複雑なオフアクシス（光軸外）イメージングの問題を、「近軸イメージング」と「線形偏向」という2つの単純な操作に分解することが可能になりました。各視野角に最適化されたレンズを配置することで、広視野角においても回折限界に近い画質を維持しています。また、製造面では、高屈折率レジストと低コストで大面積なナノインプリントプロセスを組み合わせ、アスペクト比7:1のセンチメートルスケール・メタレンズアレイを製作しており、量産への障壁を低減させています。

さらに、不均一アレイによる幾何学的投影の歪みを解消するため、非線形ボクセル・ピクセルマッピングルックアップテーブルに基づいた専用の歪み補正アルゴリズムを開発し、高速なレンダリング速度を実現しました。

背景・業界の文脈

従来の双眼視差に基づく近眼ディスプレイでは、目の輻輳（寄り目）と調節（ピント合わせ）の要求に矛盾が生じる「輻輳調節矛盾（VAC）」が発生し、これが視覚的な疲労やめまいの原因となっていました。ホログラフィックやライトフィールドディスプレイはVACのない3D視聴を提供できますが、回折や収差によって視野角が本質的に制限されるという課題がありました。特に従来のマイクロレンズアレイでは、視野角を広げるとオフアクシス収差が激しくなり、画質が急速に劣化します。これを複数のレンズ群やフリーフォーム面で補正することは、デバイスの体積制限や製造上の限界から困難とされてきました。

今後の展望

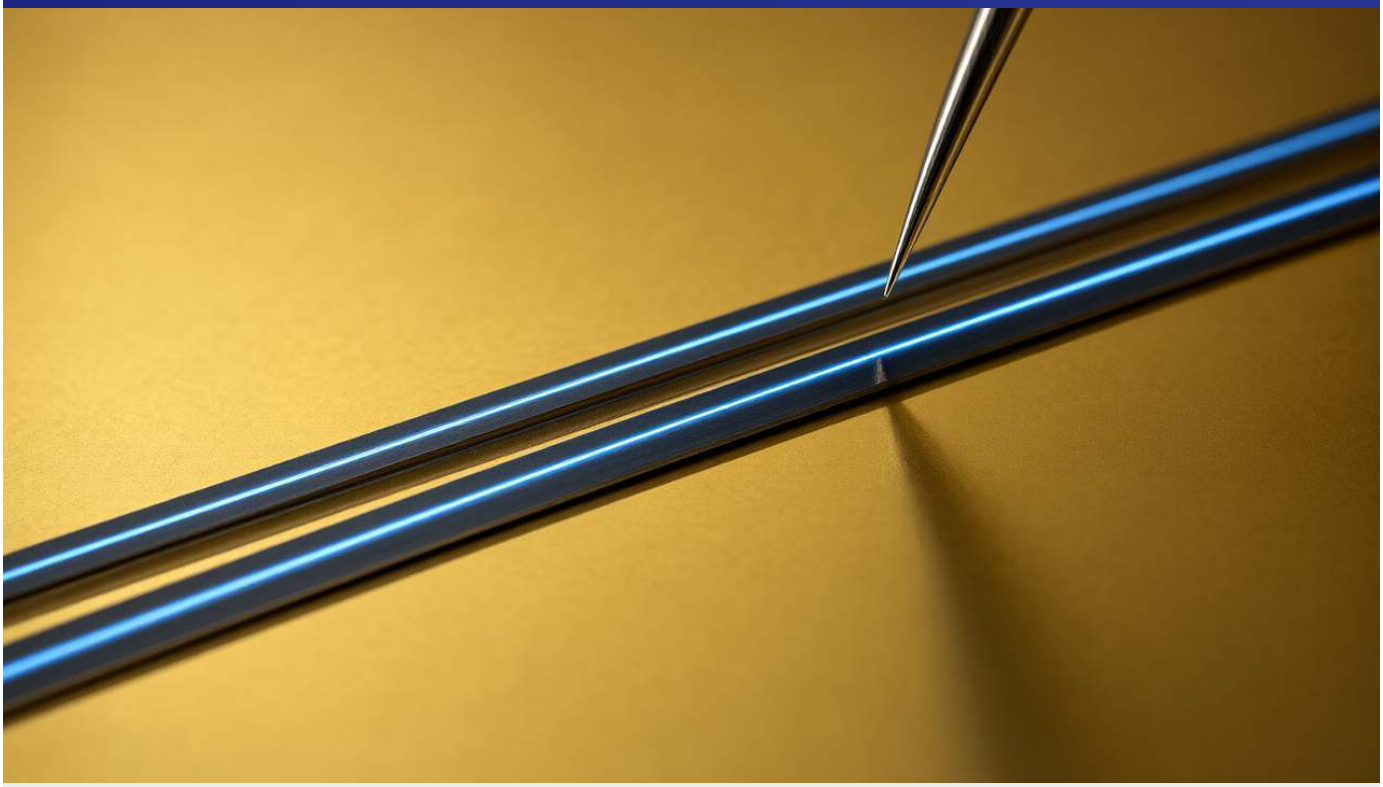
研究チームはシミュレーションにおいて、視野角をさらに86度まで拡張できることを示しました。これは人間のステレオ視の範囲である約80度をカバーするものですが、実証にはより大きなマイクロディスプレイが必要となります。本研究は、没入型XRデバイスにおいて、軽量な光学素子で広視野角かつ視覚疲労の少ないライトフィールド表示を実現するための有効なハードウェア手法を提示したと言えます。

元記事: https://bioengineer.org/heterogeneous-metalens-array-widens-light-field-xr-displays/

収集日: 2026年10月31日 | 自動記事収集・翻訳システム (AI使用)

#11 カーボンペンタヘプタイト・ナノリボン｜平面状の共有結合金属の合成と導電性能

公開日 2026年10月28日　Nature（DOI: 10.1038/s41586-026-11202-2）



概要

平面状のカーボンペンタヘプタイト・ナノリボン（CPHN）のオンサーフェス合成に成功し、そのうちの一種が「共有結合金属」として機能することが明らかになりました。特にCPHN 1は、金属製カーボンナノチューブに匹敵する、量子限界に近い弾道伝導に近い導電性を示します。これにより、原子レベルで定義された1次元導体としての実現が可能となり、将来的なオールカーボン電子デバイスの構築に向けた道が開かれました。

詳細

主要成果

研究チームは、平面状のカーボンペンタヘプタイト・ナノリボン（CPHN）をオンサーフェス合成し、その電子特性を明らかにしました。合成されたナノリボンのうち、CPHN 1と呼ばれる構造は本質的な金属（intrinsic metal）であり、金属製カーボンナノチューブに匹敵する、1つのコンダクタンス量子に近い準弾道伝導（near-ballistic conductance）を示すことが確認されました。一方、もう一つの構造であるCPHN 2は、狭バンドギャップ半導体としての特性を持つことが判明しています。

技術・詳細

今回の合成には階層的なアプローチが採用されました。具体的には、あらかじめ合成されたポリシクロオクタジエン鎖をポリペンタレン鎖へと変換し、それらを横方向に融合させることで、平面状のCPHNを構築しています。得られた2種類のナノリボンは、いずれも中央にヘプタゴン（七員環）の鎖を持つ共通の基底構造を有していますが、その両端に配置されるポリペンタレン鎖の配向性が異なります。CPHN 1は両端の配向が同一であり、CPHN 2は異なる配向を持つことで、前者が金属、後者が半導体という対照的な電気的性質を持つに至りました。

背景・業界の文脈

次世代のカーボンベース電極や相互接続（インターコネクト）への応用に向けて、原子レベルで定義された1次元導体の開発が求められてきました。これまで、グラフェンナノリボンにおいてはゼロモード超格子などのバンドエンジニアリングを通じて金属化が実現されてきましたが、非ベンゼノイド炭素同素体である「カーボンペンタヘプタイト」を用いた金属ナノリボンの実現は、理論的な予測にとどまり、未探索の領域でした。本研究は、この理論上の物質を実際に合成し、その金属性を実証した点に大きな意義があります。

今後の展望

今回の成果により、半導体特性を持つグラフェンナノリボンやナノグラフェンと互換性のある、ボトムアップ方式によるオールカーボン電子回路の作製が可能になります。特にCPHN 1は、平面状のカーボン金属として極めて有望であり、将来的なカーボン量子ワイヤへの発展が期待されます。ただし、実際のデバイスへの統合に向けては、さらなる合成プロセスの最適化が必要であるとされています。

元記事: https://doi.org/10.1038/s41586-026-11202-2

収集日: 2026年10月31日 | 自動記事収集・翻訳システム (AI使用)

#12 H5N1 mRNA-LNPワクチン｜乳牛の乳腺感染を防ぐ有効性と免疫応答の検証

公開日 2026年10月28日　Nature Biotechnology（DOI: 10.1038/s41587-026-03343-6）　アメリカ



概要

乳牛における高病原性鳥インフルエンザ（HPAI）H5N1感染を防ぐmRNA-LNPワクチンの有効性が確認されました。ワクチン接種した乳牛は、未接種群に比べて乳中のピークウイルスRNA量が約1,000倍低く、乳腺炎や乳腺線維化の発生率も低下しました。乳腺がウイルスの主要な複製部位である乳牛において、血清および乳中の両方で抗体を誘導できるため、酪農産業の経済損失抑制と人間への感染リスク低減が期待されます。

詳細

主要成果

乳牛における高病原性鳥インフルエンザ（HPAI）clade 2.3.4.4b H5N1ウイルスに対するmRNA-LNPワクチンの有効性が実証されました。乳腺内へのウイルス接種によるチャレンジ試験において、ワクチン接種済みの牛は、対照群と比較して乳中のピークウイルスRNA量が約1,000倍低く抑えられました。また、臨床的な乳腺炎の発生および乳腺線維化の頻度が低下したことが確認されています。

技術・詳細

本研究では、米国で流行している牛由来のH5N1ウイルス（A/dairy cattle/Texas/24-008749-002/2024）を代表とするウイルスのヘマグルチニン（HA）をコードしたmRNA-LNPワクチンを開発しました。実験では、2歳から8歳のホルスタイン種乳牛8頭をワクチン群と対照群に分け、以下の手順で検証が行われました。

- **投与方法：**500μgのH5 mRNA-LNPを筋肉内に投与し、3週間後に同量を追加投与（ブースト）しました。
- **免疫応答：**ワクチン接種により、血清中ではHA反応性抗体および中和抗体が誘導され、さらに乳中でもHA反応性抗体が検出されました。
- **チャレンジ試験：**初回接種から49日後、乳腺内へのウイルス接種を行い、ウイルス複製量と病状を評価しました。

結果として、本ワクチンは乳牛において良好な耐容性を示し、明らかな副作用は見られませんでした。

背景・業界の文脈

HPAI clade 2.3.4.4b H5N1ウイルスは、北米の野生鳥類や哺乳類、商業養鶏場で広範なアウトブレイクを引き起こしています。特に2024年には米国の19州にわたる乳牛への感染が拡大し、酪農業界に甚大な経済的損失を与えています。牛における本ウイルスの特徴は、呼吸器系よりも乳腺組織が主要な複製部位となる点にあり、乳中のウイルス排出を通じて個体間に伝播すると考えられています。乳腺感染は深刻な乳腺炎を引き起こし、飼料摂取量の減少やルーメン運動の低下、そして劇的な産乳量の減少を招きます。

今後の展望

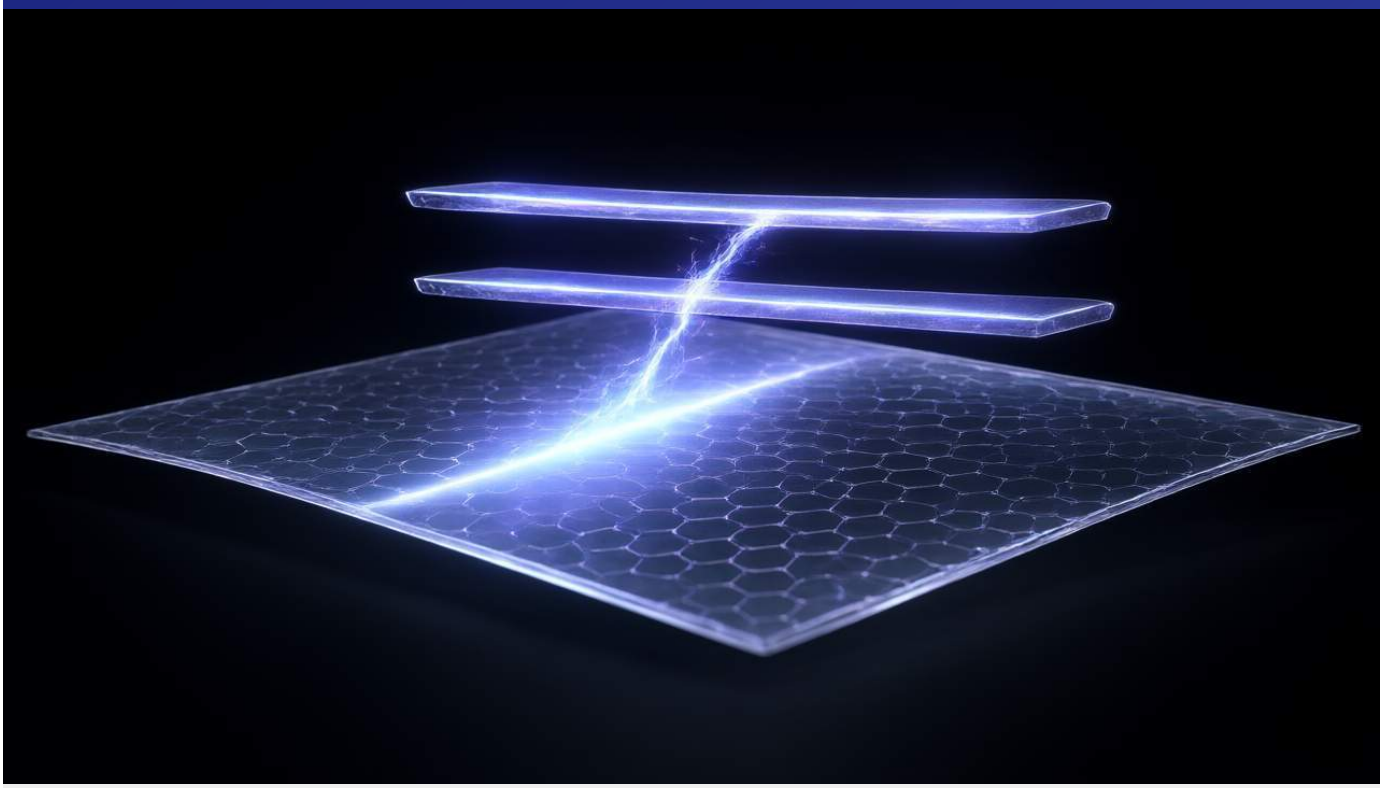
乳腺が感染の主戦場となるため、乳腺組織を保護できるワクチンの開発は極めて重要です。本研究で開発されたmRNA-LNPワクチンは、血清だけでなく乳中にも抗体を誘導できることが示されました。これにより、感染した動物における産乳量低下を制限し、さらには哺乳類への適応やヒトからヒトへの伝播リスクという公衆衛生上の懸念を軽減し、人間へのスピルオーバー（種を越えた伝播）イベントを抑制することが期待されます。

元記事: https://doi.org/10.1038/s41587-026-03343-6

収集日: 2026年10月31日 | 自動記事収集・翻訳システム (AI使用)

#13 グラフェンの電子遷移｜Landau-Zener-Majorana遷移の可視化と高速半導体への応用

公開日 2026年10月29日　Quantum Zeitgeist（レーゲンスブルク大学ほか、Nature）　ドイツ



概要

レーゲンスブルク大学、マールブルク大学、ユーリッヒ研究センターの研究チームが、グラフェン内を移動する電子がエネルギー準位を飛び越える現象を世界で初めて可視化した。強電場下で電子がエネルギー準位1、2、3から直接20へと「ジャンプ」するLandau-Zener-Majorana遷移を、レーザー技術と電子顕微鏡の組み合わせにより捉えた。この成果は、電圧だけでなく光の高速振動による電子制御を可能にし、次世代の超高速半導体デバイス開発に寄与すると期待される。

詳細

主要成果

ドイツのレーゲンスブルク大学、フィリップス大学マールブルク、およびユーリッヒ研究センター（Forschungszentrum Jülich）の研究チームは、グラフェンにおいて電子が従来のエネルギー転送ルールをバイパスして移動する現象を世界で初めて可視化することに成功した。具体的には、電子がエネルギー準位の1、2、3から直接的にレベル20へと跳躍する様子が観察された。この現象は「Landau-Zener-Majorana遷移」と呼ばれ、これまで理論的に予測されていたが、直接的に視覚化されたのは今回が初めてである。本研究の結果は、国際的な学術誌『Nature』に掲載された。

技術・詳細

研究チームは、レーザー技術と電子顕微鏡を組み合わせた新しい手法を用いることで、固体内のエネルギー景観を横断する電子の動きをリアルタイムで追跡した。この観測では、光パルスによって生成された強電場の下で電子が加速され、材料のバンド構造において中間の17のエネルギー準位を飛び越える様子が、いわば「フロアを飛ばすエレベーター」のようにスローモーション映像で捉えられた。

この精密な観測を実現するためには、不純物が量子力学的なダイナミクスを妨げない極めて純度の高いグラフェンが必要であった。チームは、ユーリッヒ研究センターで開発された特殊な「回転（rotated）」グラフェンおよび、原子レベルで極めて純度の高いカーボン層を使用した。これにより、バンドギャップを通過する際のトンネル確率100%という、従来の量子力学の原則では困難と考えられていた完全な効率での電子遷移を実証した。

背景・業界の文脈

電子がエネルギー状態間を直接トンネルする現象の制御は、高速半導体エレクトロニクスの発展において極めて重要であるとされる。これまで、電子の挙動は間接的な測定から推測されることが一般的であったが、今回の手法により、電子がエネルギー景観をどのようにナビゲートしているかを直接的に観察することが可能となった。また、量子遷移を起こす少数の電子を捉えるために、大量の電子を同時に観測する必要があり、これを革新的な技術の組み合わせで克服した点が技術的なポイントとなっている。

今後の展望

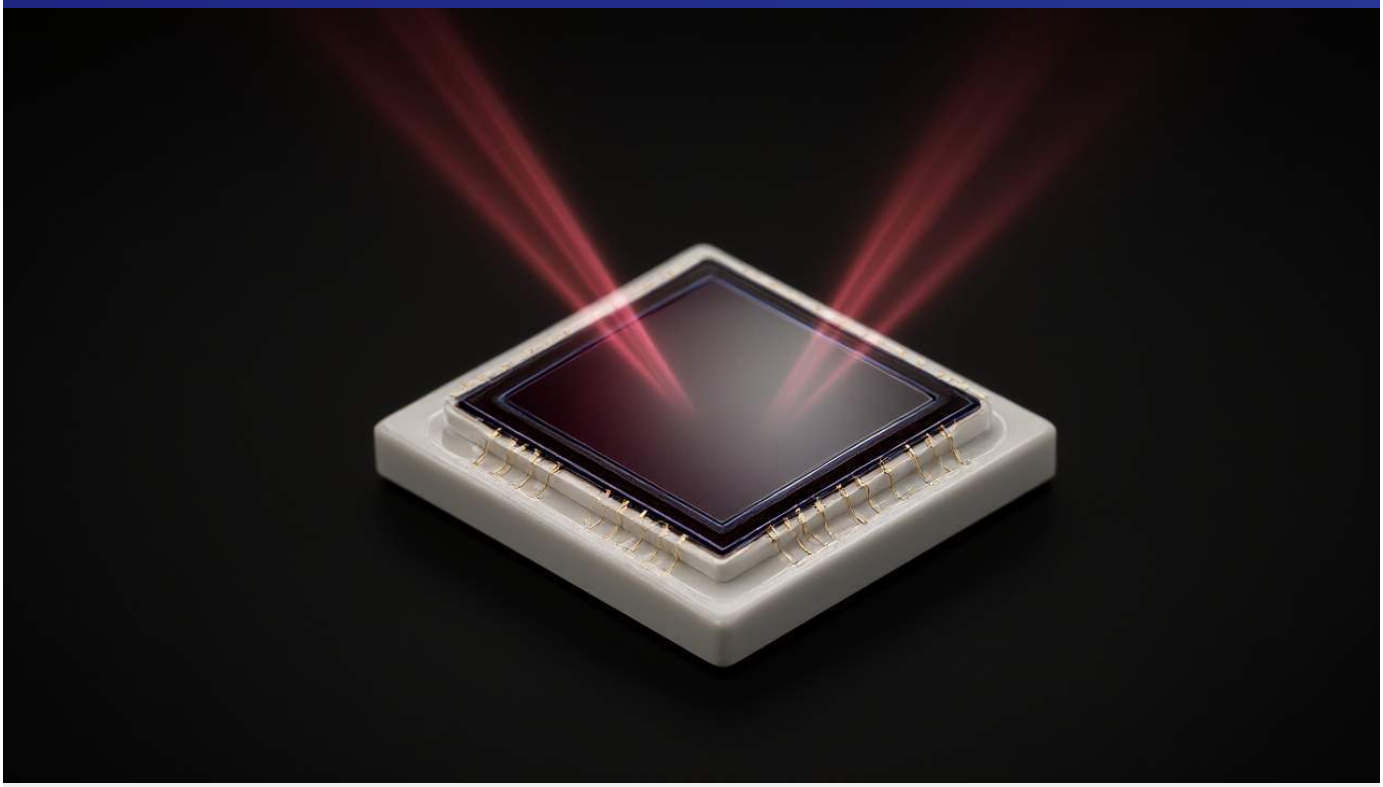
今回の発見は、量子力学の基礎的な理解を深めるだけでなく、実用的な電子デバイスの設計に新たな視点を提供する。特に、電子の制御を従来の電気的な電圧だけでなく、光の極めて高速な振動によって行う道が開かれた。これにより、現在よりも大幅に高速かつ効率的な半導体技術の実現につながる可能性がある。研究チームは、この手法が電子制御を制限する要因を特定する手段となり、将来的な技術進歩に不可欠な知見をもたらすと述べている。

元記事: https://quantumzeitgeist.com/julich-graphene-quantum-leap-electrons-jump/

収集日: 2026年10月31日 | 自動記事収集・翻訳システム (AI使用)

#14 Ag-S-Te量子ドット材料｜田中貴金属が開発した鉛フリー赤外受光材の性能とコスト

公開日 2026年10月28日　レスポンス　日本



概要

田中貴金属工業と名古屋大学が、鉛（Pb）を含まない近赤外領域応答の貴金属量子ドット材料を共同開発した。銀・硫黄・テルル（Ag-S-Te）を主成分とし、波長1200〜1700 nmの短波長赤外（SWIR）光に対して最高18.4%の外部量子効率（EQE）を達成している。RoHS指令の規制対象外であるため民生機器への採用が可能となり、製造コストを従来のInGaAs比で約10分の1に低減できる見込みだ。

詳細

主要成果

田中貴金属工業と名古屋大学・鳥本研究室の共同研究により、鉛（Pb）やカドミウム（Cd）を使用しない、近赤外領域の光に応答する貴金属量子ドット材料が開発された。この新材料は銀・硫黄・テルル（Ag-S-Te）を主成分とする化合物半導体量子ドットであり、簡易的な光センサの受光層として実装した性能評価において、波長1200〜1700 nmの短波長赤外（SWIR）光に対し、最高18.4%の外部量子効率（EQE）を記録した。

技術・詳細

本材料の最大の特徴は、環境規制であるEUのRoHS指令の対象物質である鉛を含まない点にある。また、製造面では真空プロセスを必要とせず、印刷プロセスによる製造が可能である。これにより、従来の主流材料であるインジウム・ガリウム・ヒ素（InGaAs）を用いたセンサと比較して、製造コストを約10分の1にまで抑えられるとされている。

また、田中貴金属工業は共同研究を通じて、量子ドット材料の組成制御、粒子径制御、および表面改質技術を確立しており、顧客のニーズに合わせた光学特性のカスタマイズへの対応も可能としている。さらに、同社が保有する貴金属リサイクル技術を適用し、製造時の端材や使用済みサンプルから貴金属を回収・精製することで、初期評価コストや量産時のランニングコストを低減させる体制を整えている。

背景・業界の文脈

現在、3Dセンシング、自動車用LiDAR、スマートフォンの顔認証、生体センシング、産業用検査カメラなどの分野で赤外光を用いたセンシング技術の需要が拡大している。これまで主流だったInGaAsは、製造工程の複雑さに起因する高コストに加え、原料となるインジウム（In）の産出量が限られており、安定供給が課題となっていた。

代替案として硫化鉛（PbS）を用いた量子ドット材料が注目されていたが、前述の通り鉛を含むため、RoHS規制により民生用電子機器への採用が制限されていた。今回開発されたAg-S-Te材料がターゲットとする1200〜1700 nmの波長帯は、悪天候や太陽光によるノイズの影響を受けにくいため、屋外環境においても高精度なセンシングを実現できる特性を持つ。

今後の展望

本材料は、自動車用LiDARやスマートフォンの顔認証などの3Dセンシング、産業用検査カメラ、生体センシングといった幅広い分野での実用化が期待される。今後のスケジュールとして、2026年11月1日～6日の国際学会「オキナワ コロイズ」、および12月16日～18日の「ナノテック 第26回 国際ナノテクノロジー総合展・技術会議」にて紹介される予定であり、2027年1月よりサンプル提供が開始される計画となっている。

元記事: https://response.jp/article/2026/10/28/418316.html

収集日: 2026年10月31日 | 自動記事収集・翻訳システム (AI使用)